



طراحی سیستم فازی نوع-2 جهت شناسایی و تشخیص عیب سیستم‌های غیرخطی برای سیستم سه تانک و سیستم الکتروهیدرولیکی

حمید قدیری^{۱*}، حسن محمدخانی^۲

۱- استادیار، مهندسی برق کنترل، دانشگاه آزاد اسلامی واحد قزوین، قزوین

۲- استادیار، مهندسی هوا و فضا، دانشگاه جامع امام حسین، تهران

* قزوین، h.ghadiri@qiau.ac.ir ۳۴۱۶۳۶۴۵۲

چکیده

سیستم‌های کنترل در شرایط عادی، می‌توانند عملکرد مطلوبی ایجاد نمایند. اما در مواقعی که در سیستم عیوب ایجاد شود، حفظ شرایط عملکرد مناسب، کاری دشوار و اغلب ضروری است. در حقیقت عدم تشخیص به موقع عیوب در سیستم‌های حساس، منجر به صدمه دیدن مقابله قابل توجهی از امکانات و اطلاعات می‌شود. در نتیجه انگیزه فراوانی در زمینه تشخیص خرابی در مجتمع علمی و صنعتی ایجاد شده است. حال اگر سیستم تحت بررسی غیرخطی باشد، تشخیص عیوب با روش‌های خطی امکان‌پذیر نیست. مشکل اصلی در این حالت دقت مدل سازی پروسه است، که بر دقت تشخیص و رفع عیوب مؤثر است. نظریه‌ی سیستم‌های فازی، یک ابزار مؤثر برای برخورد با شرایط پیچیده و نامطمئن است. این مقاله مسأله تشخیص عیوب را بر اساس مدل‌سازی برای سیستم‌های غیرخطی با استفاده از سیستم فازی نوع-2 مورد توجه قرار داده است. روش پیشنهادی برای تشخیص عیوب در تحقیق حاضر ایجاد یک محدوده مورد اطمینان با تخمین کران بالا و کران پایین برای خروجی سیستم است که با استفاده از یک سیستم فازی نوع-2 صورت می‌گیرد. با این شرایط با استفاده از سیستم فازی نوع-2 سیگال مانده‌ای تولید می‌شود که وجود یا عدم وجود عیوب در سیستم را مشخص می‌نماید. در این روش در صورت خارج شدن نمودار خروجی سیستم تحت کنترل از کران‌های بالا و پایینی تخمین زده شده، می‌توان وقوع عیوب را تشخیص داد. در انتها به منظور نشان دادن قابلیت و ویژگی روش پیشنهادی، روش مورد نظر روی سیستم‌های غیرخطی سه تانک و الکتروهیدرولیکی اعمال شده است و نتایج بسیار رضایت‌بخش می‌باشند.

اطلاعات مقاله

مقاله پژوهشی کامل

دریافت: ۰۵ آبان ۱۳۹۵

پذیرش: ۰۵ دی ۱۳۹۵

ارائه در سایت: ۲۸ دی ۱۳۹۵

کلید واژگان:

تشخیص عیوب

سیستم فازی نوع-2

سیستم غیرخطی

سیستم سه تانک

سیستم الکتروهیدرولیکی

Design type-2 fuzzy systems for identification and fault detection of nonlinear systems for three-tank system, electro-hydraulic system

Hamid Ghadiri^{۱*}, Hasan Mohammadkhani^۲

۱- Department of Electrical, Biomedical and Mechatronics Engineering, Qazvin Branch, Islamic Azad University, Qazvin, Iran

۲- Department of Aerospace Engineering, Imam Hossein University, Tehran, Iran

* P.O.B. ۳۴۱۶۳۶۴۵۲ Qazvin, Iran, h.ghadiri@qiau.ac.ir

ARTICLE INFORMATION

Original Research Paper

Received 26 October 2016

Accepted 25 December 2016

Available Online 17 January 2017

Keywords:

Fault Detection

Type-2 Fuzzy System

Nonlinear system

Three-tank System

Electro-hydraulic System

ABSTRACT

Control systems under normal conditions can provide a desirable performance. But when faults occur in the system, maintaining the appropriate operating condition is a difficult and often necessary matter. In fact, lack of timely fault detection in sensitive systems will lead to significant amounts of resources and information being damaged. As a result, a growing tendency in the field of fault detection in both scientific and industrial communities has been created. However, if the system under consideration is nonlinear, fault detection will not be possible with linear methods. In this case the main difficulty is in accurate modeling of process which affects on the accuracy of fault detection and troubleshooting. Fuzzy systems theory is an effective tool to deal with the complicated and uncertain situations. This paper has considered the problem of fault detection based on the modeling for nonlinear systems using interval type-2 fuzzy system. Our proposed method for fault detection is to create a confidence bound using the estimation of upper and lower bounds for the system output which can be done using a type-2 fuzzy system. Here, a residual signal is produced which determines the presence or absence of fault in the system. In this method in case of the output graph of the control system deviating from the estimated upper and lower bounds, the occurrence of fault can be detected. Finally, in order to show the capabilities of proposed method, the method is applied on three-tank and electro-hydraulic nonlinear systems and the results are very satisfying.

عملی و صنعتی محسوب می‌شود و یکی از زمینه‌های تحقیقاتی است که

بسیار مورد توجه محققان است. رخدان عیوب در واقع به معنای ایجاد

۱- مقدمه

مسئله تشخیص عیوب یکی از مهمترین نگرانی‌ها در بسیاری از سیستم‌های

برای ارجاع به این مقاله از عبارت ذیل استفاده نمایید:

H. Ghadiri, H. Mohammadkhani, Design type-2 fuzzy systems for identification and fault detection of nonlinear systems for three-tank system, electro-hydraulic system, *Modares Mechanical Engineering*, Vol. 17, No. 1, pp. 342-352, 2017 (in Persian)

در سیستم های غیرخطی از سیستم های فازی نوع 2- استفاده شده که در آن ها خروجی در یک فاصله مشخص، غیرقطعی و نامعین است.

در سال های اخیر منطق فازی نوع 2- در زمینه های مختلفی از جمله شناسایی سیستم [14]، تشخیص عیب [15, 16]، پیش بینی سری زمانی [17] مورد توجه قرار گرفته است. در این قسمت، با توجه به موضوع و روش استفاده شده در مقاله حاضر، به بررسی برخی مقالات پراهمیت در زمینه تشخیص عیب و فازی نوع 2- پرداخته خواهد شد.

در [18] برای تشخیص عیب رده ای از سیستم های غیرخطی از رویتگرهای تطبیقی استفاده شده است. مزیت روش استفاده شده در [18] عدم استفاده از تکنیک های خطی سازی است. همچنین به منظور تشخیص عیب در یک سیستم الکتروهیدرولیکی، از رویتگرهای غیرخطی در [19] و در کنترل کننده های تطبیقی مقاوم [20] استفاده شده است. محققان در [21] عیوب ایجاد شده را برای یک سیستم غیرخطی دو تانک با طراحی یک کنترل کننده فازی به منظور تولید یک سیگنال مانده که مبتنی بر مدل است، مورد بررسی قرار داده اند. در مقاله [22] برای حسگرها و عملگرها هیلیکوپتر، یک سیستم تشخیص عیب ارائه شده است که در این سیستم، با استفاده از رویتگرها و با بررسی هر تغییر مهمی در رفتار هیلیکوپتر (نسبت به حالت بدون خطای)، عملیات تشخیص خطای رخداده، انجام می شود. در [5] مساله تخمین همزمان سرعت و تشخیص خطای حسگر مبتنی بر رویتگر، برای یک وسیله نقلیه هوایی بدون سرنشین بحث شده است. ساختار اصلی آن، شامل بانکی از رویتگرهای کاهش مرتبه داده شده، برای کشف و جداسازی حسگرها خطا دار و همزمان با آن تخمین بدون بایاس سرعت وسیله نقلیه هوایی بدون سرنشین از روی اطلاعات شتاب سنج ها می باشد. در [23] به منظور دستیابی به پایداری و عملکرد مطلوب یک هواپیمای بال ثابت، در حضور نامعینی مدل و نویز اندازه گیری یک کنترل کننده مقاوم طراحی شده و برای داشتن یک تخمین مناسبی از ورودی های کنترلی، یک طرح جهت تشخیص عیب مبتنی بر شبکه عصبی توسعه داده است. سرانجام، برای جبران اثرات خطای رخداده، یک کنترل کننده با قابلیت پیکربندی مجدد پیشنهاد شده است. در [24] با استفاده از کنترل کننده فازی نوع 2-، عیب های ایجاد شده در یک پروسه صنعتی تشخیص داده است. در [25] یک کنترل کننده فازی تطبیقی براساس منطق فازی نوع 2- برای یک مدل بیهوشی چند متغیره به منظور کنترل آرامش عضلانی، بیهوشی، و تسکین درد در اتاق عمل و بعد از عمل پیشنهاد شده است. در واقع با توجه به اینکه پارامترهای انسانی شامل عدم قطعیت می باشند در این مقاله از کنترل کننده براساس فازی نوع 2- استفاده شده و نشان داده شده که عملکردی به مراتب بهتر نسبت به فازی نوع 1- دارد. نویسندها در [26] با استفاده از یک رویتگر تطبیقی جهت شناسایی و آشکارسازی عیب برای یک مدل غیرخطی هواییما استفاده نموده اند. نویسندها در [27] با استفاده از یک کنترل کننده فازی نوع 2- به کنترل جهت حرکت و ارتفاع ربات پرنده چهارملخه به عنوان یک شیء پرنده بدون سرنشین پرداخته اند. در این مقاله با توجه به شرایط محیطی و تاثیرات عدم قطعیت و نویز در عمل کرد سیستم کنترل کننده فازی نوع 2- پیشنهاد شده است و نشان داده شده که عملکرد مناسب تری نسبت به کنترل کننده فازی نوع 1- و کنترل کننده تنااسبی، انتگرالی، مشتق گیر دارد. محققین در [28] از رویتگر غیرخطی مقاوم جهت تشخیص عیب های ایجاد شده در سنسور یک سیستم تعلیق با مدل غیرخطی استفاده کرده اند. در واقع در [28]، رویتگر مقادیر حالت هایی از سیستم ها را که در دسترس نیستند تخمین زده و سپس با استفاده از رویتگر و تشکیل یک سیگنال

تغییری ناخواسته در یکی از خصوصیات سیستم است. از جمله این عوامل و شرایط غیرعادی می توان به نواقص مختلفی چون عیب عمل گر یا حس گر، فرسودگی اجزای سیستم، تغییرات غیر قابل پیش بینی پارامترها و امثال آن اشاره نمود [1]. این عیوب مشکلات اقتصادی، امنیتی و تأثیرات محیطی فراوانی به جا گذاشته اند. با توجه به این نکات، اتوماتیک نمودن تشخیص عیب سیستم و تشخیص علت آن امروزه یک ضرورت در صنایع مختلف می باشد. بنابراین با توجه به اهمیت موضوع تایل روز افزونی در زمینه تشخیص خرایی و عیب چه در مجتمع علمی و چه در مجتمع صنعتی ایجاد شده است. تشخیص عیب و رفع آن برای سیستم های خطی پیش از این، در دهه 1970 میلادی به طور گسترده ای مورد بررسی قرار گرفته و روش های مؤثری هم ارائه شده است. در مرجع [2] انواع عیوب محتمل و کنترل کننده های تحمل پذیر در برابر عیب اشاره شده اند.

یکی از رویکردها جهت تشخیص عیب استفاده از ساخت افزار است که در این حالت از تعدادی حس گر و عمل گر برای کنترل و اندازه گیری متغیرها استفاده می گردد. بزرگترین مشکل این روش بالا بودن هزینه به دلیل استفاده از تجهیزات اضافی است. رویکرد دیگر به منظور تشخیص عیب، استفاده از یک مدل ریاضی بر اساس سیگنال های ورودی و خروجی و قوانین فیزیکی حاکم بر سیستم تحت کنترل است. در این حالت در صورت وقوع عیب با تشکیل یک سیگنال مانده مناسب، متناسب با مقدار عیب، می توان وجود یا عدم وجود عیب را از روی این سیگنال مانده بدست آورد. این مانده ها همان تفاوت سیستم اصلی و مدل سازی شده هستند. یک سری از حالت ها و یا خصوصیات¹ را به عنوان شاخص در نظر می گیرند و تغییرات مانده آنها، بروز عیب را معلوم می کند. از جمله ویژگی های این رویکرد عدم نیاز به ساخت افزار و تجهیزات اضافی است.

اما با توجه به اینکه اغلب سیستم های عملی ماهیت غیرخطی دارند، بدست آوردن یک مدل دقیق و تحلیلی برای آنها دشوار است. در واقع مشکل اصلی در دقت مدل سازی پروسه های غیرخطی است، که بر دقت تشخیص و رفع عیب مؤثر است. در سال های اخیر روش های متعددی برای شناسایی و تشخیص عیب در برابر عیب سیستم های غیرخطی ارائه شده است که از جمله آنها می توان به تخمین پارامترها و طراحی رویتگر حالت [3] و روش های هوشمند از جمله استفاده از شبکه های عصبی [6-9] و منطق فازی [12-19] اشاره نمود. اما منطق فازی یک ابزار قدرتمند و مناسب جهت تحلیل سیستم هایی که دارای اطلاعات کافی نیستند، بسیار مورد توجه محققان و پژوهشگران قرار گرفته است. سیستم های فازی به طور کلی بر دو نوع هستند: سیستم های فازی نوع 1-² و سیستم های فازی نوع 2-³. توانایی سیستم های فازی نوع 1- در مقابله با نامعینی ها محدود است. به عبارت دیگر تابع تعلق مجموعه فازی نوع 1-، مقداری واحد بین صفر و یک می گیرد و تعلق عدم قطعیت را شامل نمی شود و در آن یک درجه تعلق واحد برای هر داده ورودی وجود دارد. به همین منظور در سیستم هایی که عدم قطعیت و تغییر پارامترها دارای محدود وسیعی است، می توان از سیستم های فازی نوع 2- استفاده کرد. سیستم های فازی نوع 2- در مواجهه با نایقینی ها و عوامل غیرخطی بسیار قدرتمندتر از سیستم های فازی نوع 1- عمل می کند [13]. با توجه به اینکه در سیستم های صنعتی عدم قطعیت هایی مانند نویز در داده ها و شرایط محیطی وجود دارد به همین دلیل در مقاله حاضر به منظور تشخیص عیب

¹ Features² Type 1 fuzzy systems³ Type 2 fuzzy systems

الکتروهیدرولیکی) اعمال و نتایج مورد تحلیل و بررسی قرار خواهد گرفت. در نهایت در بخش آخر نتیجه‌گیری ارائه می‌گردد.

2- معوفی سیستم فازی نوع-2

همان‌طور که اشاره شد نظریه‌ی سیستم‌های فازی، یک ابزار مناسب برای مواجهه با عدم قطعیت در سیستم است. با این وجود سیستم‌های فازی نوع-2، برای پشتیبانی شرایط غیرمطمئن، همچون شرایط نویزی و تعییر محیط، می‌توانند از سیستم‌های منطق فازی نوع-1 بهتر عمل کنند. این انعطاف‌پذیری به خاطر آن است که در فازی نوع-2 درجه‌ی عضویت خود یک مجموعه‌ی فازی می‌باشد، هرچند که این مسئله باعث پیچیدگی استفاده از سیستم‌های فازی نوع-2 نسبت به فازی نوع-1 می‌باشد. در حالت پیوسته یک مجموعه‌ی فازی نوع-2 \tilde{A} به صورت رابطه (1) تعریف می‌شود:

$$\tilde{A} = \int_{x \in X} \int_{u \in J_x} \frac{\mu_{\tilde{A}}(x, u)}{(x, u)} \quad J_x \subseteq [0, 1] \quad (1)$$

که در آن J_x درجه‌ی عضویت اولیه‌ی x نامیده می‌شود و $\mu_{\tilde{A}}$ درجه‌ی عضویت ثانویه است. امروزه از آنجا که استفاده از مجموعه‌های فازی نوع-2 معمولی در سیستم منطق فازی نوع-2، محاسبات پیچیده‌ای دارد، بیشتر محققان برای کاهش پیچیدگی به سراغ سیستم‌های فازی نوع-2 بازه‌ای² می‌روند. وقتی همه‌ی درجه‌های عضویت ثانویه برابر یک باشد، یعنی $\mu_{\tilde{A}}(x, u) = 1$ کلی یک کنترل کننده فازی نوع-2 در شکل 1 نشان داده شده است. اساساً ساختار سیستم منطق فازی نوع-2 به ساختار سیستم منطق فازی نوع-1 شباهت زیادی دارد. بزرگ‌ترین تفاوت ساختاری این است که فرآیند غیرفازی‌سازی³ در یک سیستم فازی نوع-1 با بلوک عملیات خروجی در سیستم فازی نوع-1 جایگزین شده است که شامل کاهش نوع⁴ به همراه غیرفازی‌سازی می‌باشد.

در این تحقیق از یک سیستم فازی نوع-2 بازه‌ای برای شناسایی و مدل‌سازی سیستم غیرخطی استفاده شده است. در قسمت منطق فازی از مدل تاکاگی سوگنو⁵ استفاده شده است. ایده‌ی کلیدی در تشخیص عیب ایجاد یک محدوده اطمینان توسط تخمین کران بالا و کران پایین برای خروجی سیستم است. این دو تخمین توسط سیستم فازی نوع-2 ساخته می‌شوند. اگر ورودی و خروجی سیستم واقعی را به صورت داده‌های ورودی- خروجی در دسترس باشند، سیستم فازی قابل طراحی است. ایده‌ی در طراحی سیستم فازی نوع-2، خوشه‌بندی داده‌های ورودی- خروجی و استفاده از یک قاعده مناسب فازی برای هر خوشه می‌باشد. ابتدا

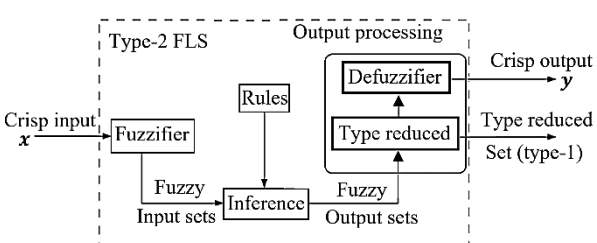


Fig. 1 The structure of type-2 fuzzy controller

شکل 1 ساختار کنترل کننده فازی نوع-2 [27]

مانده‌ی مناسب، متناسب با مقدار عیب، وجود یا عدم وجود عیب از روی این سیگنال مانده بدست می‌آید. تشخیص عیب در یک توربین گازی توسط شبکه‌های عصبی در [29] مورد بررسی قرار گرفته است. مرجع [8] به مساله تشخیص عیب برای سیستم‌های فازی نوع-2 با سنسور غیرخطی پرداخته است و با استفاده از یک فیلتر براساس رویتگر، یک سیگنال مانده جهت تشخیص عیب تولید نموده است. نویسنده‌گان در [30] یک کنترل کننده مد لغزشی فازی نوع-2 بازه‌ای جهت کنترل وضعیت هوایما طراحی نموده‌اند. همچنین جهت اصلاح ضایعات کنترل کننده پیشنهادی از الگوریتم بهینه‌سازی ازدحام ذرات استفاده نموده‌اند و نشان داده شده که کنترل کننده ارایه شده پایداری مجانبی حلقه بسته به درنظر گرفتن عدم قطعیت و اختشاش در مدل را تضمین می‌نماید. در [31] کنترل کننده فیدبک حالت براساس فازی نوع-2 همراه با عیب روی محرك برای یک سیستم پاندول معکوس طراحی شده است و نشان داده شده که کنترل کننده پیشنهادی در برابر نامعینی در مدل عملکرد مناسبی دارد. محققین در [32] یک روش مبتنی بر سیستم‌های فازی نوع-2 را به منظور تحمل عیب یک موتور القایی ارائه نموده‌اند. در این مقاله عیب در موتور القایی را بلبرینگ معیوب درنظر گرفته‌اند و نشان داده شده است که روش پیشنهادی در مقایسه با روش‌های قبلی مشابه عملکرد بهتری دارد. در [33] یک کنترل کننده مقاوم جهت کنترل هلیکوپتر با شش درجه آزادی در حضور عیب در سیستم ارائه شده است. استراتژی کنترل در این مقاله براساس ترکیب کنترل فازی نوع-2 و کنترل مد لغزشی است. در این مقاله نشان داده شده است که کنترل کننده ارایه شده موجب حذف پدیده وزوز و تضمین پایداری مقاوم سیستم می‌گردد. نویسنده‌گان در [9] به بررسی مساله تشخیص عیب برای سیستم‌های تصادفی فازی نوع-2 با محدودیت پایداری پرداخته شده است.

در مقاله حاضر جهت تشخیص عیب برای سیستم‌های غیرخطی از سیستم‌های فازی نوع-2 استفاده شده است. این تحقیق از چند دیدگاه دارای نوآوری است. ابتدا مدل‌سازی یک سیستم غیرخطی با سیستم فازی نوع-2 ارائه شده است و نیازی به سخت افزار و تجهیزات اضافی نیست. همچنین طراحی سیستم‌های فازی به وسیله‌ی تکنیک خوشه‌بندی⁶ انجام شده است. همچنین روش پیشنهادی در این مقاله برای تشخیص عیب در سیستم‌های غیرخطی تک ورودی-تک خروجی بسیار مناسب است. از طرفی دیگر ایده‌ی اصلی این مقاله برای تشخیص عیب در سیستم‌های غیرخطی، ایجاد محدوده اطمینانی برای خروجی سیستم تحت کنترل می‌باشد. این کار توسط تخمین یک کران بالا و یک کران پایین برای خروجی سیستم، توسط سیستم فازی نوع-2 بازه‌ای، انجام شده است. از روی این کران‌ها سیگنال باقی مانده بدست آمده و سپس عیوب رخداده تشخیص داده شده‌اند. در انتها با توجه به اینکه در سیستم‌های صنعتی عدم قطعیت‌هایی مانند نویز در داده‌ها و شرایط محیطی وجود دارد، نشان داده خواهد شد که در عمل روش ارائه شده در برابر نویز پاسخ قابل قبولی خواهد داد.

ساختار مقاله بدین شرح است که، بعد از مقدمه گفته شده در این بخش، در بخش دوم مختصراً سیستم فازی نوع-2 معرفی خواهد شد. در بخش سوم طراحی سیستم‌های فازی نوع-2 به وسیله‌ی خوشه‌بندی ارائه خواهد شد. سپس در بخش چهارم، شیوه تشخیص عیب ارائه شده و سپس در بخش پنجم بر اساس آن، شیوه‌سازی‌ها انجام و نمودارها ارائه خواهد شد. در این بخش، روش پیشنهادی روی دو سیستم صنعتی (سه تانک و

¹ Clustering

² Interval Type-2 Fuzzy Systems

³ Defuzzification

⁴ Type-Reduction

⁵ Takagi-Sugeno

⁶ مهندسی مکانیک مدرس، فروردین 1396. دوره 17. شماره 1

است. شش داده‌ی ورودی- خروجی (x_0^1, y_0^1) و ... و (x_0^6, y_0^6) به دو خوشه تقسیم شده است و از روی آنها دو قاعده ایجاد می‌شود.

برای مسأله‌ی مطرح شده در این مقاله، ابتدا زوج‌های ورودی- خروجی را بحسب توزیع نقاط ورودی به خوشه‌هایی تقسیم کرده و برای هر خوشه از یک قاعده استفاده خواهد شد. یکی از الگوریتم‌های خوشسازی، الگوریتم خوشسازی نزدیک‌ترین همسایه^۱ می‌باشد که به طور مفصل در [34,16] آورده شده است.

۴- تشخیص عیب

همان‌گونه که ذکر شد، هدف کلی در این تحقیق، آشکارسازی عیب در یک سیستم غیرخطی به روش فازی نوع-2 می‌باشد. در این مقاله قصد بر این است که سیستم غیرخطی موجود به وسیله‌ی تکنیک فازی نوع-2 مدل‌سازی شده و درنهایت سیگنال مانده جهت آشکارسازی عیب، از روی مدل بدست آمده تولید گردد. در شکل ۳ شمای کلی تکنیک تولید سیگنال مانده^۲ آشکارسازی عیب از روی سیگنال مانده نشان داده شده است. همان‌گونه که از شکل ۳ مشخص است، سیگنال مانده از روی مدل سیستم تولید می‌شود.

ایده‌ی کلیدی شیوه‌ی تشخیص عیب که در اینجا پیشنهاد شده است، به خدمت گرفتن تخمین‌های کران بالایی و کران پایینی می‌باشد که توسط روش ارائه شده به عنوان محدوده‌ی اطمینان برای خروجی سیستم به دست آمده است. نحوه به دست آوردن تخمین کران بالایی و کران پایینی برای خروجی در قسمت قبلی توضیح داده شد. این طور فرض می‌شود که تشکیل دهنده‌ی تخمین کران بالایی و کران پایینی، محدوده‌ی اطمینان برای خروجی هستند. برای یافتن عیب، تابع تصمیم‌گیری که این که آیا هر مقدار اندازه‌گیری شده به این محدوده‌ی باریک تعلق دارد را بازیبینی می‌کند. برای این منظور سیگنال مانده (y_{out}) می‌تواند به صورت (3) تعریف شود:

$$\hat{y} = \frac{\bar{y} - \hat{y}}{2} \quad (3)$$

در این حالت فاصله پیشنهادی به صورت (4) تعریف می‌گردد. اگر خروجی اندازه‌گیری شده برابر \hat{y} باشد (رابطه ۳)، سیگنال مانده در (4) برابر صفر می‌شود و اگر که خروجی اندازه‌گیری شده به یکی از کران‌های بازه نزدیک شود، آن‌گاه سیگنال مانده به مقدار یک میل می‌کند. هر وقت سیگنال مانده از مقدار یک تجاوز کند، یک هشدار^۳ صادر خواهد شد.

$$re(y_{out}) = \frac{y_{out} - \hat{y}}{\hat{y} - \hat{y}} \text{ اگر } y_{out} < \hat{y}; \quad (4)$$

$$re(y_{out}) = \frac{y_{out} - \hat{y}}{\hat{y} - \hat{y}} \text{ اگر } y_{out} > \hat{y};$$

۵- نتایج شبیه‌سازی

در این قسمت به منظور نشان دادن قابلیت روش سیستم فازی نوع-2 برای تشخیص عیب، روش پیشنهادی روی دو سیستم صنعتی غیرخطی اعمال خواهد شد. در ادامه، ابتدا این دو مدل غیرخطی مشهور (سیستم سه تانک و سیستم الکتروهیدرولیکی) معرفی شده و سپس طی شبیه‌سازی آن‌ها در محیط سیمولینک نرم افزار متلب، چهار مدل فازی نوع-2 بازه‌ای برای محدوده اطمینان سیگنال خروجی آن‌ها محاسبه شده است. به خاطر غیرخطی بودن این سیستم‌ها و متفاوت بودن رفتار آن‌ها حین کاهش یا

یک سیستم فازی از این نظر که می‌تواند تمامی زوج‌های ورودی- خروجی را با یک دقت مطلوب تطبیق دهد، ایجاد می‌شود. سپس خوشه‌های ورودی- خروجی با استفاده از الگوریتم خوشبندی نزدیک‌ترین همسایه‌گی، تعیین می‌گردد که به طور خلاصه در [34,16] آمده است. سپس خوشه‌ها را به دید زوج‌های ورودی- خروجی نگاه کرده و سیستم فازی برای تطابق آن‌ها طراحی می‌شود. سیستم فازی ارائه شده به صورت رابطه (2) ساخته می‌شود [34]:

$$f(x) = \frac{\sum_{i=1}^p y_0^i \mu_{A_j^i}(x_j)}{\sum_{i=1}^p \mu_{A_j^i}(x_j)} \quad (2)$$

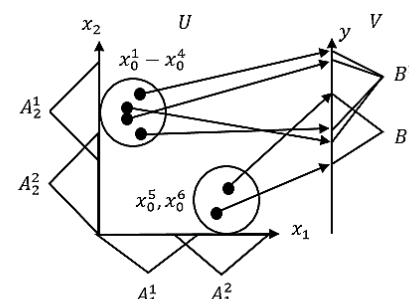
یک نمونه قانون (قانون i-ام) برای سیستم فازی نوع-2 با p ورودی و یک خروجی به صورت زیر خواهد بود:

"اگر x_1 برابر F_1^i و ... و x_p برابر F_p^i باشند، آنگاه y برابر G^i خواهد بود"

در سیستم فازی (2) از روی p قاعده‌ی فازی با تابع عضویت‌های ورودی $(x_j - x_0^i)^2 / 2\sigma^2 = \exp(-|x_j - x_0^i| / \mu_{A_j^i}(x_j))$ و مرکز تابع عضویت خروجی برابر با y_0^i و استفاده از ماشین استنتاج ضرب، فازی‌ساز منفرد و غیرفازی‌ساز میانگین مراکز ساخته شده است. با انتخاب مناسب پارامتر σ سیستم فازی (2) می‌تواند N زوج ورودی- خروجی را با هر دقت خواسته شده تطبیق دهد.

۳- طراحی سیستم‌های فازی به وسیله‌ی خوشسازی

سیستم فازی غیر بهینه (2) برای هر زوج ورودی- خروجی از یک قاعده استفاده می‌کند. در نتیجه اگر تعداد زوج‌های ورودی- خروجی زیاد باشد یک سیستم عملی قابل استفاده را به دست نخواهد داد. برای مثالی از این دست، تکنیک‌های خوشبندی مختلفی را برای گروه‌بندی داده های ورودی- خروجی می‌توان مورد استفاده قرار داد، به نحوی که هر گروه را بتوان با یک قاعده نمایش داد. منظور از خوشبندی، افزار مجموعه‌ای از داده‌ها به زیر مجموعه‌های جداگانه است به گونه‌ای که داده‌ی موجود در یک خوشه دارای ویژگی‌هایی می‌باشد که آن را از داده‌های موجود در سایر خوشه‌ها تمایز می‌سازد [34,16]. برای مثاله‌ی مطرح شده در این تحقیق، ابتدا زوج‌های ورودی- خروجی بحسب توزیع نقاط ورودی به خوشه‌هایی تقسیم شده و برای هر خوشه از یک قاعده استفاده می‌گردد. شکل 2 نمونه‌ای را نشان می‌دهد که در آن شش داده ورودی- خروجی به دو خوشه تقسیم و برای ساخت سیستم فازی از دو قاعده استفاده شده



اگر x_1 برابر A_1^1 و x_2 برابر A_2^1 باشند، آنگاه y برابر B^1 خواهد بود
اگر x_1 برابر A_1^2 و x_2 برابر A_2^2 باشند، آنگاه y برابر B^2 خواهد بود

Fig. 2 An example for the construction of fuzzy if-then rules using input-output data

شکل 2 مثالی برای ساخت قواعد اگر-آنگاه فازی توسط داده‌های ورودی- خروجی

¹ Nearest Neighborhood Clustering

² Residual signal Generation

³ Alarm

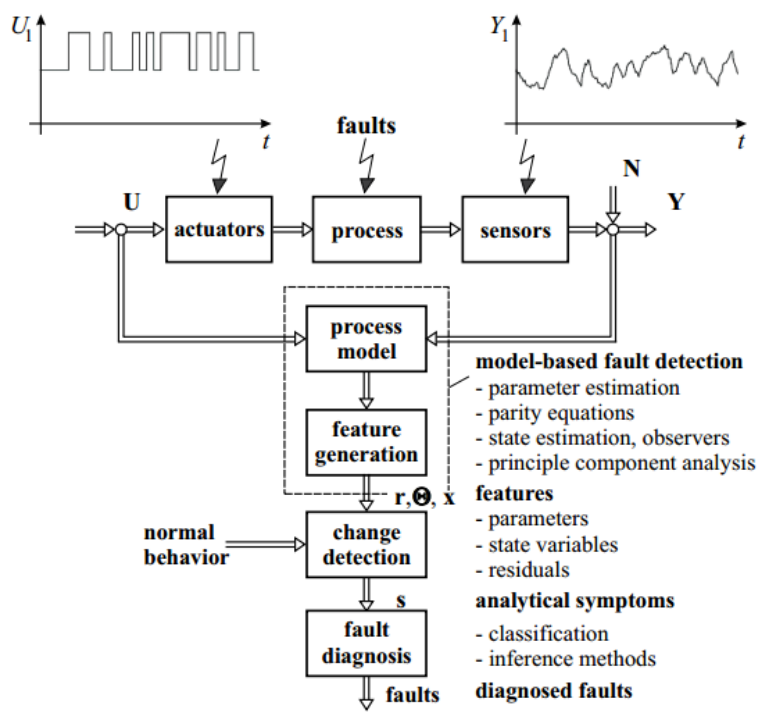


Fig. 3 The overall diagram of fault detection method based on the system model

شکل 3 نمودار کلی روش تشخیص عیب بر اساس مدل سیستم [35]

که در آن $k_{p_i} = a_i S_{p_i}$ ثابت‌های برون‌ریز و $g = 9.8$ هم شتاب گرانش زمین را نشان می‌دهند. برای سادگی $a_i = 1$ قرار داده شده است. ورودی سیستم همان ولتاژ پمپ الکتریکی (t) $u_1(t)$ است که دبی ورودی را به وجود می‌آورد (رابطه (6)):

$$q_1(t) = k_u u_1(t) \quad (6)$$

که در آن $10^{-3} \text{ m}^3/\text{sV} = 8.8 \times 10^{-3} \text{ m}^3/\text{s}$ ثابت تبدیل ولتاژ به دبی مایع است. تبدیل کردن سطح مایع در تانک‌ها h_i به ولتاژ خروجی مطابق رابطه (7) ممکن است:

$$y_i(t) = k_{h_i} h_i(t) \quad (7)$$

که در آن $1/0.06 \text{ V/m} \cong 16.667 \text{ V/m}$ ثابت‌های تبدیل سطح مایع به ولتاژ هستند.

شکل 5 دیاگرام بلوکی سیستم کنترل حلقه بسته بکار رفته برای سیستم سه تانک را نشان می‌دهد. در این سیستم حلقه بسته کنترل کننده پیشنهادی یک کنترل کننده تناسبی دو حالت است. زمانی که لازم است ارتفاع تانک شماره 1 افزایش یابد، به منظور پرشدن تانک شماره 1 کنترل کننده، فرمان باز شدن شیر ورودی را می‌دهد و هنگامی که ارتفاع تانک شماره 1 یابد کاهش یابد، به منظور خالی شدن تانک شماره 1، کنترل کننده، فرمان باز شدن شیر خروجی تانک شماره 3 را صادر می‌کند.

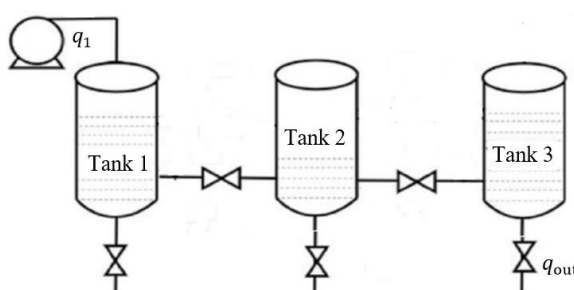


Fig. 4 Three-tank system

شکل 4 سیستم سه تانک [36]

افزایش سیگنال مرجع، در این مقاله دو مدل فازی برای هنگام افزایش سیگنال مرجع و دو مدل فازی نیز برای حالت کاهشی بودن سیگنال مرجع محاسبه شده‌اند. در ادامه با فرض عیوبی در اجزای سیستم‌های حلقه بسته، نظیر خرایی عمل‌گر یا حس‌گر و یا رخداد نشتی در تانک یا سیلندرهای آن‌ها، روش پیشنهادی برای آشکار سازی رخداد عیوب مطالعه شده است.

5-1- معروفی سیستم سه تانک

در این قسمت سیستم سه تانک که یک مسئله مشهور است [36]، برای نشان دادن مزایای روش پیشنهاد شده برای تشخیص عیوب، مورد استفاده قرار می‌گیرد. این سیستم یک دستگاه آزمایشگاهی است که شامل سه تانک با جریان مایع بین آن‌هاست. هر سه تانک به شکل استوانه‌ای و به شعاع 7 سانتی‌متر می‌باشد در نتیجه سطح مقطع آن‌ها $A_s = 0.0154 \text{ m}^2$ است. لوله‌ی اتصال دهنده‌ی بین هر دو تانک و همچنین لوله‌ی خروجی تانک سوم دارای شعاع 2 سانتی‌متر می‌باشد. بدین ترتیب سطح مقطع این لوله‌ها و خروجی‌ها برابر $s_p = 0.0013 \text{ m}^2$ است و سطح مایع در تانک‌ها با h_i نشان داده می‌شود. نمایی از این سیستم سه تانک در شکل 4 نمایش داده شده است. جریان ورودی که به وسیله‌ی یک پمپ الکتریکی به تانک اول وارد می‌شود با $q_1(t)$ و جریان خروجی از تانک سوم با $q_{out}(t)$ نمایش داده شده است. با استفاده از روابط تعادل جرم و قانون توریچلی¹، برای این سیستم سه تانک، معادلات دیفرانسیلی به صورت روابط (5) به دست می‌آید:

$$\begin{aligned} \dot{h}_1 &= \frac{1}{A_s} (-k_{p_1} \operatorname{sign}(h_1 - h_2) \sqrt{2gh_1} + q_1) \\ \dot{h}_2 &= \frac{1}{A_s} (+k_{p_1} \operatorname{sign}(h_1 - h_2) \sqrt{2gh_1} - k_{p_2} \operatorname{sign}(h_2 - h_3) \sqrt{2gh_2}) \\ \dot{h}_3 &= \frac{1}{A_s} (+k_{p_2} \operatorname{sign}(h_2 - h_3) \sqrt{2gh_2} - k_{p_3} \sqrt{2gh_3}) \end{aligned} \quad (5)$$

¹ Toricelli's Rule

$$a_1 \pi(r_1)^2 \sqrt{2gh_1} \quad (8)$$

2- عیب در عمل گر

فرض می شود که عمل گر دچار حادثه شده و جریان اضافی و ثابتی را به تانک شماره 1 از ثانیه 2.5 الی 2.8 تزریق می کند.

3- عیب در حس گر

یک خطای ساده در سنسور اندازه گیری سطح فرض شده است، به طوری که ناگهان در ثانیه 4.5 مقدار ولتاژ معادل ارتفاع اندازه گیری شده به نصف کاهش می باشد و در نتیجه 50 خطای ارتفاع مایع در مخزن شماره 1 رخ می دهد.

برای تشخیص عیوب در نظر گرفته شده، آشکارساز عیوبی مبتنی بر سیستم فازی نوع-2 استفاده می شود. در این روش، از روی سیگنال مانده کران های بالایی و پایینی ارتفاع مایع در مخزن شماره 1 تخمین زده می شوند که آنها محدوده اطمینانی برای خروجی سیستم خواهند بود.

شکل 7 زیر سیستم آشکارساز عیوب را نشان می دهد. این زیرسیستم شامل بلوک هایی برای ایجاد سیگنال مانده می باشد. در این شکل سیگنال های بالا آمدن¹ و پایین آمدن² به ترتیب نشان دهنده افزایشی یا کاهشی بودن سیگنال مرجع ارتفاع تانک شماره 1 می باشند. بنابراین سیگنال های از کران های بالایی و پایینی ارتفاع مایع در تانک شماره 1 می باشند، متناظر با افزایشی یا کاهشی بودن سیگنال مرجع ایجاد می شوند. برای نزدیکتر شدن بررسی به واقعیت، خروجی در حین اندازه گیری به نویز آغشته شده است.

نمودار رسم شده در شکل 8 خروجی تانک شماره 1 را نشان می دهد. در شکل 8 سیگنال مرجع (ارتفاع مطلوب برای سطح تانک شماره 1) و h_1 ارتفاع مایع، h_{up} کران بالایی و h_{down} کران پایینی ارتفاع مایع در تانک شماره 1 می باشند.

در شکل 8 کران های 0.02 برای آن به خوبی توسط سیستم های فازی نوع-2 بازه ای ایجاد شده است. به عنوان عیوب در عمل گر، بین ثانیه 2.5 الی 2.8 جریان اضافی به علت رخداد عیوب در شیربرقی وارد مخزن شماره 1 شده است. در ثانیه 0.5 الی 1 نیز عیوب ناشی از نشتی در تانک شماره 1 فرض شده که باز سیستم تشخیص عیوب آن را آشکار کرده است. در ثانیه 4.5 به بعد هم حس گر دچار حادثه شده و بهره آن از 1 به 0.5 کاهش یافته است. تغییر ارتفاع بخوبی مشخص است.

با توجه به این که هنگام وقوع عیوب در حس گر، مطابق شکل 9 سیگنال باقیمانده به صورت ناگهانی تغییر می کند بنابراین هرگاه مشتق سیگنال باقیمانده از حدی بیشتر شود مکانیزم تشخیص عیوب حس گر باید فعل شده و هشدار صادر گردد. این بار نیز آشکار ساز عیوب به خوبی عمل کرده و توسط

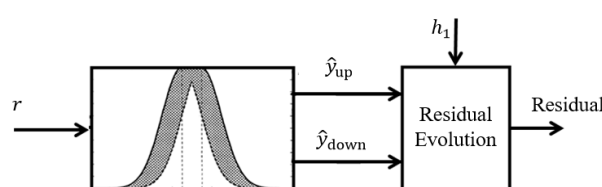
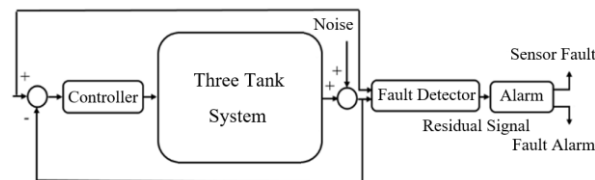


Fig. 7 زیر سیستم آشکار ساز عیوب

شکل 7 زیر سیستم آشکار ساز عیوب

¹ Rise
² Fall



شکل 5 سیستم سه تانک در حلقه کنترل به همراه بلوک های تشخیص دهنده عیوب و

ایجاد کننده هشدار

5- شبیه سازی عددی سیستم سه تانک

5-1-1- بخش شناسایی

پس از معرفی سیستم سه تانک، در این قسمت به منظور شناسایی این سیستم غیرخطی، طی شبیه سازی انجام شده در محیط سیمولینک، چهار عدد مدل فازی نوع-2 بازه ای برای ایجاد محدوده اطمینان سیگنال خروجی محاسبه شده اند. سپس با فرض عیوب عمل گر و حس گر و رخداد نشتی در تانک شماره 1 به شناسایی این عیوب اقدام شده است. شکل 6 نمودار سیگنال های ورودی و خروجی استفاده شده برای شناسایی سیستم غیرخطی به صورت یک مدل فازی نوع-2 فاصله ای را نشان می دهد. جهت شناسایی سیستم، زمان نمونه برداری 5 میلی ثانیه در نظر گرفته شده است. بنابراین در 90 ثانیه 18000 داده ایجاد می شود. 9000 تای اول مربوط به زمانی است که ارتفاع کاهش می پاید و 9000 تای بعدی داده های ناشی از افزایش ارتفاع می باشند. از آن ها برای ایجاد فایل های داده استفاده می شود.

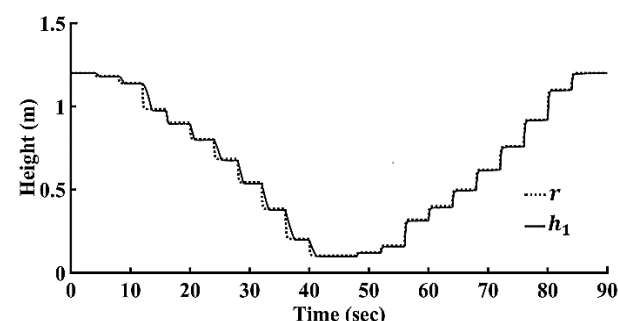
این فایل ها حاوی اطلاعات مربوط به سیستم های فازی نوع-2 می باشند. در آن ها و برای هر دو حالت کاهش و افزایش سیگنال مرجع باند 0.02 برای کران های بالا و پایین مجاز برای تغییرات ارتفاع در نظر گرفته شده است. این فایل ها توسط توابع متلب برای ایجاد سیگنال های \hat{y}_{up} و \hat{y}_{down} استفاده شده اند. این توابع وظیفه طراحی سیستم فازی-2 را بر عهده دارند. در نهایت در محیط سیمولینک یک برنامه شبیه ساز که شامل قسمت هایی برای شبیه سازی سیستم سه تانک، کنترل کننده و آشکار ساز عیوب (با کمک سیستم فازی نوع-2 بازه ای) می باشد، نوشته شده است.

5-2- بخش تشخیص عیوب

در این تحقیق در سیستم سه تانک رخداد سه نوع عیوب فرض می شود:

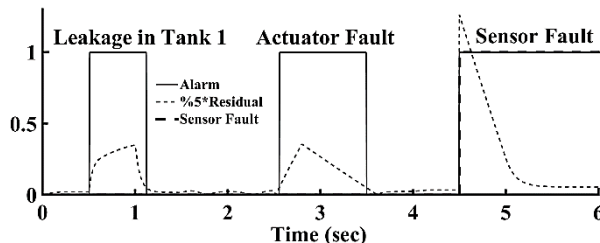
1- نشتی در تانک شماره 1

از ثانیه 0.5 الی 1، یک سوراخ ناگهانی و به شکل دایره و با شعاع 5 سانتی متر در تانک شماره 1 فرض شده است. در نتیجه ای آن، جریان مایع خروجی از این سوراخ برابر است با:



شکل 6 سیگنال مرجع و ارتفاع مایع در تانک شماره 1

1- دوره 17، شماره 1396، فروردین، مهندسی مکانیک مدرس، 1001.1.10275940.1396.17.1.55.5



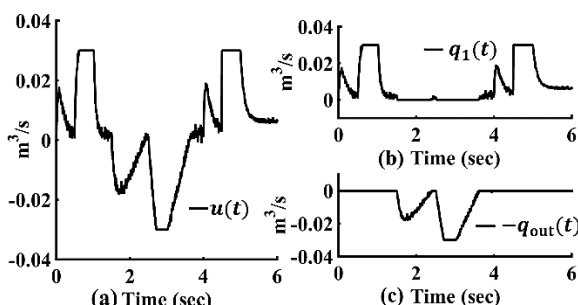
شکل 9 (ب) سیگنال مانده تولید شده، لحظه وقوع عیوبها در حس‌گر، عمل‌گر، و نشت رخداده در تانک شماره 1 در حضور نویز و فیلتر

برای تعقیب سیگنال مرجع و نیز جریان جریان مازاد ناشی از وقوع عیوب در عمل‌گر شیر برقو موجود در خروجی تانک شماره 3 باز شده است. جهت تبیین این موضع در شکل 10 نمودار $q_{out}(t)$ (دبی خروجی از تانک شماره 3) رسم شده است. در مجموع شکل 9 نشان می‌دهد که برای هر سه عیوب مطرح شده، نتیجه‌ی مورد انتظار برای مسئله برآورده شده است. از این گذشته، با استفاده از این روش پیشنهادی، تشخیص زمان تقریبی که عیوب در آن لحظه رخ می‌دهد، ممکن شده است. بنابراین روش پیشنهادی می‌تواند برای تشخیص لحظه وقوع عیوب به صورت برخط نیز مفید واقع شود.

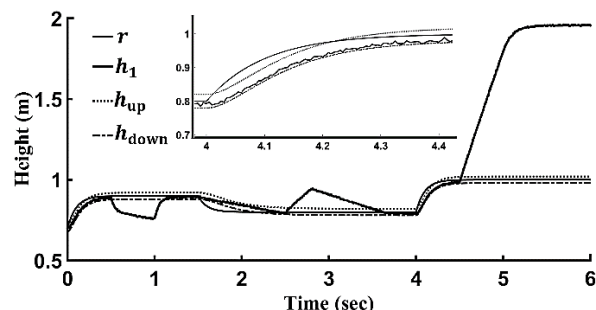
همه‌ی عیوب فقط با اندازه‌گیری خروجی تانک شماره 1 تشخیص داده می‌شوند. بنابراین برای یافتن عیوب، به اندازه‌گیری سایر خروجی‌ها و شناسایی آن‌ها نیازی نیست.

5-2-معرفی سیستم الکتروهیدرولیکی

سیستم‌های الکتروهیدرولیکی کاربرد گسترده‌ای در کاربردهای صنعتی زیادی از جمله صنایع خودرو، لوکوموتیوها و سیستم‌های قدرت و نظیر آنها مورد استفاده قرار می‌گیرند. دلیل کاربرد وسیع این گونه سیستم‌ها را می‌توان قابلیت اطمینان و پاسخ سریع آن‌ها معرفی کرد [37]. از این‌رو در این قسمت، مدل غیرخطی یک سیستم الکتروهیدرولیکی ارائه شده در مرجع [38] بررسی شده است. شکل 11 شمازی کلی سیستم الکتروهیدرولیکی را نشان می‌دهد. مدل دینامیکی سیستم الکتروهیدرولیکی مذکور به صورت (9) قابل بیان است:



شکل 10 (الف) نمودار سیگنال کنترل در حضور نویز (دبی لازم برای کنترل ارتفاع مایع در مخزن شماره 1) (ب) دبی ورودی به تانک شماره 1 در حضور نویز (قسمت مثبت سیگنال کنترل) (ج) دبی خروجی از تانک شماره 3 در حضور نویز (قسمت منفی سیگنال کنترل)



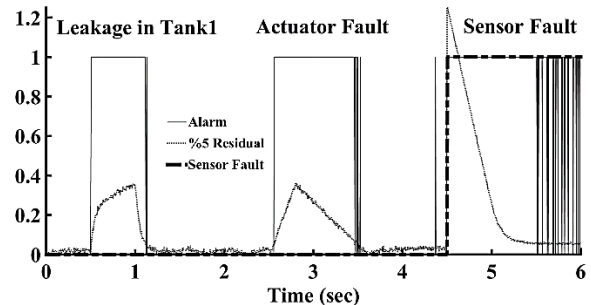
شکل 8 ارتفاع کنترل شده مایع در مخزن شماره 1، کران‌های بالایی و پایینی ارتفاع مایع در مخزن شماره 1 در حضور نویز

mekanizm خاص طراحی شده وقوع عیوب در حس‌گر تشخیص داده شده است. به طور کلی، در نمودار رسم شده در شکل 9-الف به خاطر وجود نویز در برخی مواقع سیگنال هشدار وقوع عیوب به اشتباہ صادر شده است. برای غلبه بر این مشکل از یک فیلتر مناسب در خروجی استفاده می‌شود تا اثر نویز از میان رفته و هشدار وقوع عیوب به درستی صادر گردد. شکل 9 قسمت ب این موضوع را نشان می‌دهد.

شکل 10-الف نمودار سیگنال کنترل یا همان دبی لازم برای کنترل ارتفاع مایع در تانک شماره 1 را نشان می‌دهد. این سیگنال توسط بخشی از بلوک کنترل کننده به دو قسمت مثبت و منفی تقسیم می‌شود. مقادیر مثبت به عمل‌گر (شیر برقو) واقع در ورودی تانک شماره 1 و مقادیر منفی به شیر تخلیه تانک شماره 3 اعمال می‌شوند. از این رو شکل‌های 10-ب و 10-ج به ترتیب دبی ورودی به تانک شماره 1 (قسمت مثبت سیگنال کنترل) و دبی خروجی از تانک شماره 3 (قسمت منفی سیگنال کنترل) را نمایش می‌دهند.

با توجه به نتایج شبیه سازی مشخص است که در بین ثانیه 2.5 الی 2.8 عیوب در عمل‌گر رخ می‌دهد که با کمی تاخیر این عیوب تشخیص داده شده است و در اثر آن مقداری جریان بیشتر از مقدار نشان داده در این نمودار به تانک شماره 1 ریخته می‌شود. برای جریان نشستی در تانک شماره 1 بین ثانیه 0.5 الی 1 از طریق شیر برقو دبی حداکثر 0.03 مترمکعب بر ثانیه وارد تانک شماره 1 می‌شود.

همان‌طور که گفته شد در ثانیه 4.5 ناگهان حس‌گر ارتفاع مخزن شماره 1 دچار عیوب شده و مقدار ارتفاع را 50% کمتر از مقدار واقعی نشان می‌دهد. بنابراین تغییر شدید ملاحظه شده در ثانیه 4.5 به علت رخداد عیوب در حس‌گر می‌باشد که این عیوب نیز بالافاصله تشخیص داده شده است.



شکل 9 (الف) سیگنال مانده تولید شده، لحظه وقوع عیوبها در حس‌گر، عمل‌گر، و نشت رخداده در تانک شماره 1 در حضور نویز

الکتروهیدرولیکی مشابه سیستم سه تانک در محیط سیمولینک شبیه سازی شده است. در این سیستم موقعیت اربابه متصل به محرک الکتروهیدرولیکی به عنوان خروجی در نظر گرفته شده است. یک سیگنال ورودی متشکل از چندین پله بالا رونده و پایین رونده مطابق شکل 13 به آن اعمال شده و موقعیت اربابه رسم گشته است. در شکل 13، ۲ سیگنال مرجع و X_L موقعیت واقعی اربابه می باشند. این زوج های ورودی و خروجی برای شناسایی یک مدل فازی نوع-2 بارهای برای این سیستم الکتروهیدرولیکی استفاده شده اند. حدود بالا و پایین خروجی سیستم فازی نوع-2 بارهای در شکل نشان داده شده است. این خطوط تقریباً ۰.۲ میلی متری بالا یا پایین پاسخ سیستم رسم شده اند. جهت شناسایی سیستم، زمان نمونه برداری ۰.۱ میلی ثانیه در نظر گرفته شده است. بنابراین در ۱۰۰ ثانیه یک میلیون داده ایجاد می شود. ۵۰۰ هزار تای اول مربوط به زمانی است که اربابه به سمت راست حرکت می کند و سیگنال مرجع افزایش می باید و ۵۰۰ هزار تای بعدی داده های ناشی از کاهش سیگنال مرجع است یعنی اربابه به چپ سوق داده می شود. از آن ها برای ایجاد فایل های داده استفاده می شود. این فایل ها حاوی اطلاعات مربوط به سیستم های فازی نوع-2 می باشند. در آن ها و برای هر دو حالت کاهش و افزایش سیگنال مرجع باند ۰.۲ میلی متری برای کران های بالا و پایین مجاز برای تغییرات موقعیت در نظر گرفته شده است. در نهایت در محیط سیمولینک یک برنامه شبیه ساز ک شامل قسمت هایی برای شبیه سازی سیستم الکتروهیدرولیکی، کنترل کننده و آشکارساز عیوب (یا کمک سیستم فازی نوع-2 بارهای) می باشد، نوشته شده است.

5-2-2- بخش تشخیص عیوب

در این تحقیق در سیستم الکتروهیدرولیکی رخداد پنج نوع عیوب فرض می شود:

1- نشتشی در سیلندر شماره ۱

بین ثانیه های ۱۱ الی ۱۳ و ثانیه های ۴۱ الی ۴۳ به میزان مساوی نشتشی در سیلندر شماره ۱ فرض شده است.

2- نشتشی در سیلندر شماره ۲

بین ثانیه های ۱۶ الی ۱۸ نشتشی در سیلندر شماره ۲ فرض شده است.

3- نشتشی همزمان در هر دو سیلندر

بین ثانیه های ۲۱ الی ۲۸ به طور همزمان وقوع نشتشی به میزان مساوی در سیلندر های شماره ۱ و ۲ فرض شده است.

4- عیوب در عمل گر

بین ثانیه های ۵۰.۲۵ و ۵۰.۵ فرض شده که ۳۰٪ از فشار مخزن تغذیه کاسته شده است. بدین ترتیب در این بازه زمانی از کارآیی طبیعی عمل گر کاسته شده است.

5- عیوب در حسگر

یک خطای ساده در سنسور اندازه گیری موقعیت فرض شده است، به طوری که ناگهان در ثانیه ۷۷ مقدار ولتاژ معادل موقعیت اندازه گیری شده به نصف کاهش می باید و در نتیجه ۵۰٪ خطا در تشخیص موقعیت اربابه آغشته برای نزدیکتر شدن بررسی به واقعیت، خروجی اندازه گیری شده آغشته، آغشته به نویز شده است. شکل ۱۴ پاسخ سیستم را در حضور عیوب مذکور که در زمان های مختلف در سیستم رخداده است نشان می دهد. برای نزدیکتر شدن بررسی به واقعیت، خروجی اندازه گیری شده آغشته به نویز شده است. در شکل ۱۴ $X_{Lsensor}$ موقعیت اندازه گیری شده اربابه، و X_{up} و X_{down} نیز به ترتیب کران های بالا و پایین محاسبه شده توسط سیستم فازی نوع-2

$$\begin{aligned} m\ddot{x}_L &= P_1 A_1 - P_2 A_2 - b\dot{x}_L - F_{fc}(\dot{x}_L) + \tilde{f} \\ \frac{V_1}{\beta_e} \dot{P}_1 &= -A_1 \dot{x}_L - C_{tm}(P_1 - P_2) - C_{em1}(P_1 - P_r) + Q_1 \\ \frac{V_2}{\beta_e} \dot{P}_2 &= A_2 \dot{x}_L + C_{tm}(P_1 - P_2) - C_{em2}(P_2 - P_r) - Q_2 \end{aligned} \quad (9)$$

در رابطه (9)، b ضریب میرایی مدل و نیروهای اصطکاک چسبندگی، F_{fc} اصطکاک کولمب مدل شده، \tilde{f} نامعینی های ناشی از تراکم پذیری، $V_i = V_{h_i} \pm A_i x_L$ ، $i = 1, 2$ حجم قابل کنترل سیلندر اول و دوم است، وقتی که $x_L = 0$ است، V_{h_i} بیانگر حجم محفظه A_i مساحت محفظه (پیستون $-i$)، β_e ضریب حجمی، C_{tm} ضریب نشت داخلی، C_{em} ضریب نشت خارجی و Q_i نرخ دبی ورودی یا خروجی از سیلندر های اول و دوم هستند. مقادیر کلیه پارامترها در مراجع [39] و [40] ارائه شده اند. Q_2 و Q_1 دبی ناشی از جابجایی دریچه شیر برقی x_v می باشند که با معادلات (10) و (11) مشخص می شوند:

$$Q_1 = k_{q_1} x_v \sqrt{\Delta P_1}, \quad \Delta P_1 = \begin{cases} P_s - P_1, & x_v \geq 0 \\ P_1 - P_r, & x_v < 0 \end{cases} \quad (10)$$

$$Q_2 = k_{q_2} x_v \sqrt{\Delta P_2}, \quad \Delta P_2 = \begin{cases} P_2 - P_r, & x_v \geq 0 \\ P_s - P_2, & x_v < 0 \end{cases} \quad (11)$$

در این مقاله x_v به عنوان ورودی کنترلی در نظر گرفته شده و سیپ برای کنترل موقعیت یک اربابه به جرم $m = 100 \text{ kg}$ که به یک محرک هیدرولیکی تک محوره متصل است، کنترل کننده ساده تناسبی $u = 0.04x_v$ استفاده شده است. شکل ۱۲ دیاگرام بلوکی سیستم کنترل حلقه بسته بکار رفته برای سیستم الکتروهیدرولیکی را نشان می دهد. در این سیستم حلقه بسته کنترل کننده پیشنهادی یک کنترل کننده تناسبی دو حالت است.

زمانی که لازم است اربابه به سمت راست حرکت کند سیلندر ۱ پر و سیلندر ۲ تخلیه می شود و بر عکس زمانی که لازم است اربابه به سمت چپ حرکت کند سیلندر ۲ پر و سیلندر ۱ تخلیه می شود.

5-1-2- شبیه سازی عددی سیستم الکتروهیدرولیکی

5-1-2-1- بخش شناسایی

همانطور که پیشتر گفته شد، در این مقاله مدل یک سیستم

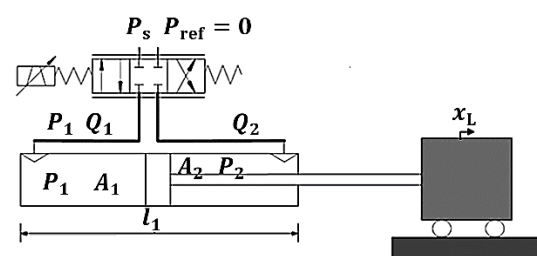


Fig. 11 Schematic of single-rod electro-hydraulic servo system [38]

شکل ۱۱ شماتیک از یک سیستم سرو الکتروهیدرولیکی تک محور [38]

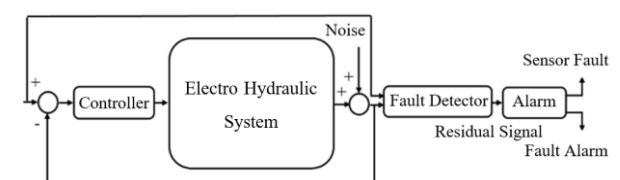
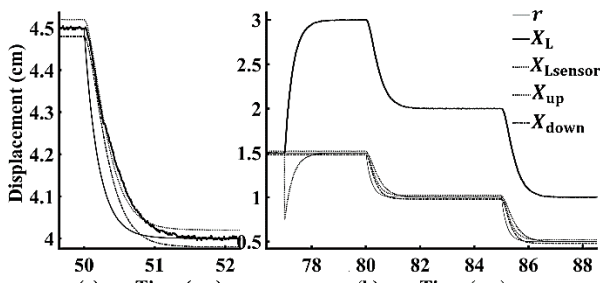


Fig. 12 Electro Hydraulic System in the control loop along with the fault detectors and alarm creators blocks

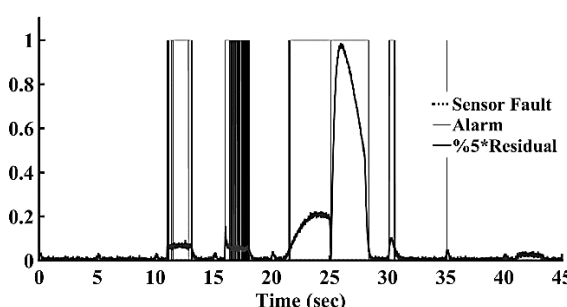
شکل ۱۲ سیستم الکتروهیدرولیکی در حلقه کنترل به همراه بلوک های تشخیص دهنده عیوب و ایجاد کننده هشدار

خنثی نکرده و بلکه سیستم حلقه بسته به سختی کنترل شده و توانسته مسیر مطلوب را تعقیب نماید. با این حال با توجه به شکل 15 وقوع این عیب هم به خوبی تشخیص داده شده است. در ثانیه 50.25 فرض شده که 30% از فشار مخزن تغذیه کاسته شده و در ثانیه 50.5 مجدداً فشار مخزن به حالت اولیه بازگشته است. با توجه به نمودار رسم شده در شکل 18 وقوع این عیب در اجزای سیستم تحت کنترل هم تشخیص داده شده است. در ادامه فرض شده است که در ثانیه 77 حسگر موقعیت متصل به ارباب متحرک دچار حادثه شده و 50% مقدار اندازه‌گیری شده را نشان می‌دهد. تغییر موقعیت به خوبی مشخص است. با توجه به این که هنگام وقوع عیب در حسگر، مطابق شکل 18 سیگنال باقیمانده به صورت ناگهانی تغییر می‌کند بنابراین هرگاه مشتق سیگنال باقیمانده از حدتی بیشتر شود مکانیزم تشخیص عیب حسگر باید فعال شده و هشدار صادر گردد. این‌بار نیز آشکار ساز عیب به خوبی عمل کرده و توسط مکانیزم خاص طراحی شده وقوع عیب در حسگر تشخیص داده شده است. به طور کلی، در نمودار رسم شده در شکل‌های 17-الف و 18-الف به خاطر وجود نویز، در برخی مواقع سیگنال هشدار وقوع عیب به اشتباہ صادر شده است. برای غلبه بر این مشکل در شکل‌های 17-ب و 18-ب از سیگنال خروجی فیلتر شده استفاده شده است. با توجه به این شکل‌ها آشکار است که تعداد هشدارهای اشتباہ بسیار کاهش یافته است.

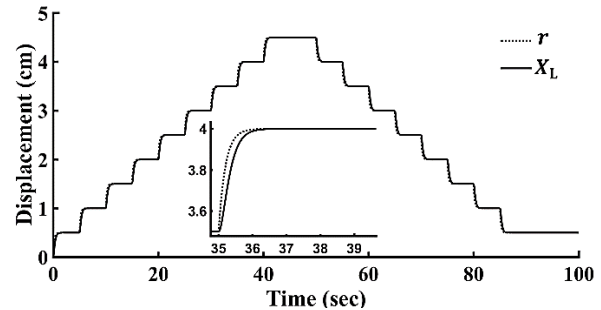
در شکل 19 دیگر ورودی (یا خروجی) از سیلندرهای شماره 1 و 2 رسم شده است. تغییرات ایجاد شده حین وقوع عیوب های مفروضه به خوبی آشکار است. در شکل 20 نمودار فشار کنترل شده در سیلندرهای شماره 1 و 2 رسم شده است. تغییرات دیده شده در نمودار فشار، ناشی از تفاوت در دیگر ورودی و خروجی سیلندرها می‌باشد.



شکل 16 بزرگنمایی شکل 14 (پاسخ سیستم به سیگنال مرجع در حضور انواع عیوب و نویز)



شکل 17 (الف) 45 ثانیه اول سیگنال باقی مانده و آلارم‌های ایجاد شده در حضور نویز

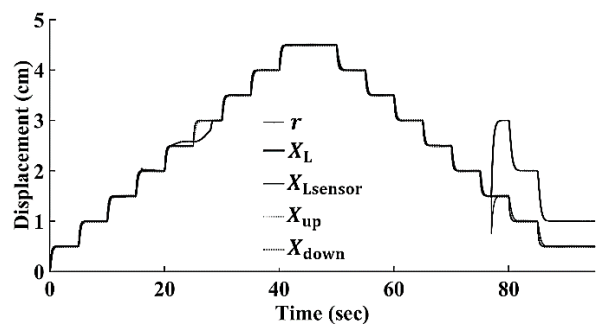


شکل 13 نمودار جابجایی استفاده شده در شناسایر فازی نوع-2 بازه‌ای

می‌باشدند. نمودارهای ناشی از بزرگنمایی نمودار شکل 14 در شکل‌های 15 و 16 دوباره رسم شده‌اند. در شکل‌های 15 و 16 قسمت a بین ثانیه‌های 11 الی 13 و ثانیه‌های 41 الی 43 به میزان مساوی نشستی در سیلندر شماره 1 در نظر گرفته شده است. در شکل 15-الف خروجی سیستم تحت کنترل از بازه فرضی توسط مدل فازی نوع-2 بازه‌ای خارج شده و وقوع عیب تشخیص داده شده است، ولی به خاطر ماهیت غیرخطی بودن سیستم تحت کنترل، در شکل 15-د عیب روی پاسخ سیستم تحت کنترل اثر کمتری داشته، فلذاً وقوع عیب تشخیص داده نشده است (شکل 17 را مشاهده نمایید).

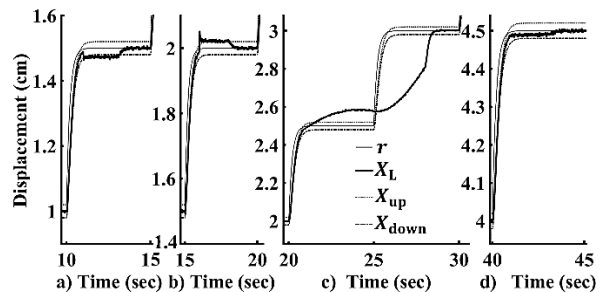
در شکل 15-د، بین ثانیه‌های 16 الی 18 به همان میزان نشستی این‌بار در سیلندر شماره 2 در نظر گرفته شده است. این‌بار به خاطر ماهیت غیرخطی سیستم تحت کنترل، اثر وقوع عیب بهتر تشخیص داده شده است. در شکل 15-ج، به طور همزمان وقوع نشستی به میزان مساوی در سیلندرهای شماره 1 و 2 فرض شده است.

بر خلاف تصور، وقوع همزمان عیب نشستی در هر دو سیلندر اثر هم را



شکل 14 پاسخ سیستم به سیگنال مرجع در حضور انواع عیوب و نویز

شکل 14 پاسخ سیستم به سیگنال مرجع در حضور انواع عیوب و نویز



شکل 15 بزرگنمایی شکل 14 (پاسخ سیستم به سیگنال مرجع در حضور انواع عیوب و نویز)

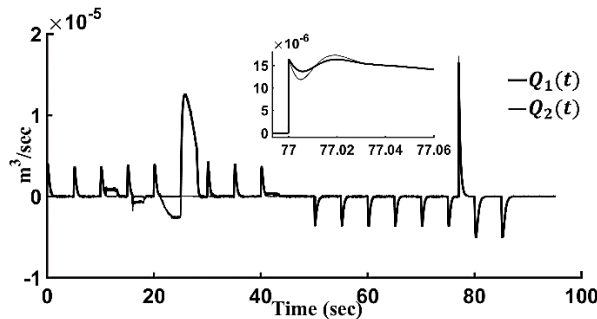


Fig. 19 The controller flow diagram (entered into the cylinders 1 and 2)
شکل 19 نمودار دبی کنترل شده (ورودی به سیلندرهای ۱ و ۲)

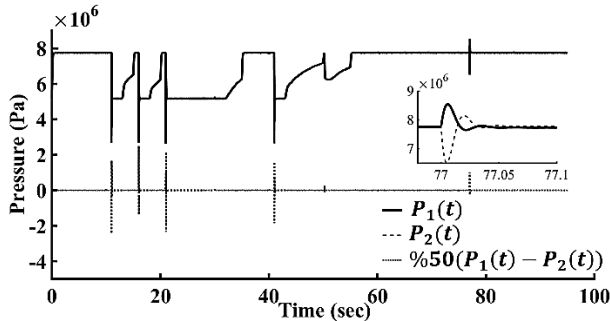


Fig. 20 The diagram of the controlled pressure in cylinders 1 and 2
شکل 20 نمودار فشار کنترل شده در سیلندرهای ۱ و ۲

عیوب‌های در نظر گرفته شده را که در سیستم‌های مورد مطالعه اتفاق افتاده است، به خوبی تشخیص داده است. این شیوه‌ی جدید می‌تواند برای کاربردهای برخط دیگری نیز به خوبی مورد استفاده قرار گیرد. بطور کلی، به خاطر وجود نویز ممکن است که در برخی مواقع سیگنال هشداری مبنی بر رخداد عیوب صادر گردد. از این‌رو می‌توان سیگنال خروجی از حس‌گر را ابتدا فیلتر نموده و سپس در تحلیل‌ها استفاده نمود. از طرفی، لازم به ذکر است که این روش برای تشخیص هم‌زمان عیوب رخداده مناسب نیست. یعنی این روش توانایی تفکیک عیوب رخداده را ندارد. در کارهای آتی می‌توان روی شناسایی و تفکیک عیوب تمرکز نمود.

7- مراجع

- [1] M. Navabi, P. Roozgard, Nonlinear fault-tolerant flight control for a transport aircraft in presence of actuators fault and failure, *Modares Mechanical Engineering*, Vol. 15, No. 12, pp. 209-220, 2016. (in Persian)
- [2] S. Barghandan, M. A. Badamchizadeh and Mohammad Reza Jahed-Motlagh, Improved Adaptive Fuzzy Sliding Mode Controller for Robust Fault Tolerant of a Quadrotor, *International Journal of Control, Automation and Systems*, Vol. 15, pp. 1-15, 2017.
- [3] D. Xu, B. Jiang, P. Shi, Nonlinear actuator fault estimation observer: An inverse system approach via a TS fuzzy model, *International Journal of Applied Mathematics and Computer Science*, Vol. 22, No. 1, pp. 183-196, 2012.
- [4] Y. Li, G. He, J. Li, Nonlinear Robust Observer-Based Fault Detection for Networked Suspension Control System of Maglev Train, *Mathematical Problems in Engineering*, Vol. 2013, pp. 7, 2013.
- [5] H. Rafaralahy, E. Richard, M. Boutayeb, M. Zasadzinski, Simultaneous observer based sensor diagnosis and speed estimation of Unmanned Aerial Vehicle, *IEEE Conference on Decision and Control*, Cancun, Mexico, pp. 2938-2943, 2008.
- [6] T. Wang, H. Gao, J. Qiu, A combined adaptive neural network and nonlinear model predictive control for multirate networked industrial process control, *IEEE Transactions on Neural Networks and Learning Systems*, Vol. 27, No. 2, pp. 416-425, 2016.
- [7] P. Bangalore, L. B. Tjernberg, An artificial neural network approach for early fault detection of gearbox bearings, *IEEE Transactions on Smart Grid*, Vol. 6, No. 2, pp. 980-987, 2015.
- [8] H. Yuan, C. Lu, J. Ma, Z.-h. Chen, Neural network-based fault detection

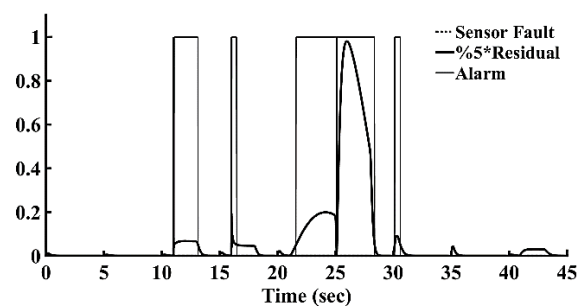


Fig. 17.(b) The first 45 seconds of the residual signal and the created alarms in the presence of noise and filter
شکل 17 (ب) ۴۵ ثانیه اول سیگنال باقی مانده و آلام‌های ایجاد شده در حضور نویز و فیلتر

اختلاف بین این دو فشار یعنی مقدار $P_1(t) - P_2(t)$ باعث جابجایی اربه می‌گردد. حین وقوع عیوب‌های مفروضه، به منظور کنترل موقعیت اربه، تغییرات ایجاد شده در نمودار $P_1(t) - P_2(t)$ به خوبی مشخص است. نمودار $P_1(t) - P_2(t)$ در شکل 20 رسم شده است.

6- نتیجه‌گیری

در این مقاله یک روش جدید جهت تشخیص عیوب بر پایه مجموعه‌های فازی نوع-2 ارائه شد. در این روش کران بالا و پایین سیستم فازی نوع-2 توسط توابع فازی به عنوان محدوده‌ی اطمینانی برای خروجی سیستم تحت کنترل تخمین زده شدند. روش پیشنهادی بر روی سیستم‌های صنعتی سه تانک و الکتروهیدرولیکی اعمال شد. نتایج نشان داد که این شیوه همه

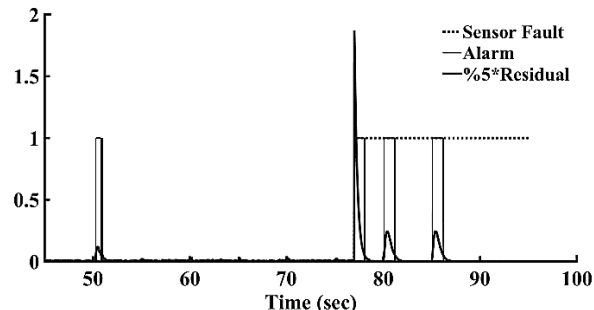


Fig. 18(a) (Continuation of Fig. 17.(a)) residual signal and created alarms in the presence of noise
شکل 18 (الف) (ادامه شکل 17 (الف)) سیگنال باقی مانده و آلام‌های ایجاد شده در حضور نویز

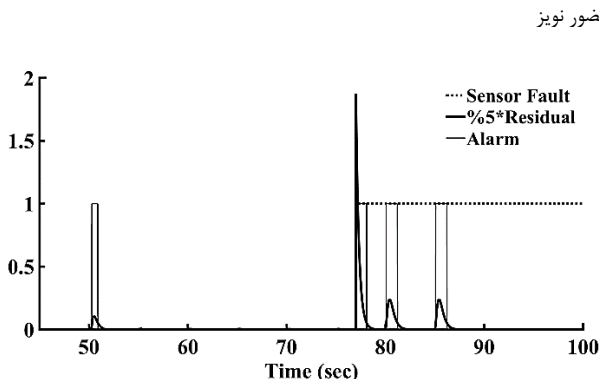


Fig. 18(b) (Continuation of Fig. 17.(b)) residual signal and created alarms in the presence of noise and filter
شکل 18 (ب) (ادامه شکل 17 (ب)) سیگنال باقی مانده و آلام‌های ایجاد شده در حضور نویز و فیلتر

- approach for instrument fault detection and diagnosis, *Proceedings of the World Congress on Engineering*, Vol. 2, pp. 1008-1012, 2011.
- [25] M. El-Bardini, A. M. El-Nagar, Direct adaptive interval type-2 fuzzy logic controller for the multivariable anaesthesia system, *Ain Shams Engineering Journal*, Vol. 2, No. 3-4, pp. 149-160, 2011.
- [26] Y. Han, S. Oh, B. Choi, D. Kwak, H. J. Kim, Y. Kim, Fault detection and identification of aircraft control surface using adaptive observer and input bias estimator, *IET Control Theory & Applications*, Vol. 6, No. 10, pp. 1367-1387, 2012.
- [27] I. Ilhan, M. Karakose, Type-2 fuzzy based quadrotor control approach, *IEEE Conference on Asian Control Conference*, Istanbul, Turkey, pp. 1-6, 2013.
- [28] Y. Li, G. He, J. Li, Nonlinear robust observer-based fault detection for networked suspension control system of maglev train, *Mathematical Problems in Engineering*, Vol. 2013, pp. 1-7, 2013.
- [29] A. Rasaienia, B. Moshiri, M. Moezzi, Feature-based fault detection of industrial gas turbines using neural networks, *Turkish Journal of Electrical Engineering & Computer Sciences*, Vol. 21, No. 5, pp. 1340-1350, 2013.
- [30] X.-j. Chen, D. Li, Z. Lu, Interval type II fuzzy sliding mode controller tuned with pso designed for attitude control of micro aircraft vehicle, *International Journal of Control and Automation*, Vol. 8, No. 10, pp. 335-348, 2015.
- [31] H. Li, X. Sun, P. Shi, H.-K. Lam, Control design of interval type-2 fuzzy systems with actuator fault: Sampled-data control approach, *Information Sciences*, Vol. 302, pp. 1-13, 2015.
- [32] J. Zarei, M. M. Arefi, H. Hassani, Bearing fault detection based on interval type-2 fuzzy logic systems for support vector machines, *IEEE conference on Modeling, Simulation and Applied Optimization*, Istanbul, Turkey, pp. 1-6, 2015.
- [33] S. Zeghlache, K. Kara, D. Saigaa, Fault tolerant control based on interval type-2 fuzzy sliding mode controller for coaxial trirotor aircraft, *ISA Transactions*, Vol. 59, pp. 215-231, 2015.
- [34] L.-X. Wang, *A course in fuzzy systems and control*, International Edition, pp. 192-203, United States: Prentice-Hall, Inc., 1997.
- [35] R. Isermann, Model-based fault-detection and diagnosis—status and applications, *Annual Reviews in Control*, Vol. 29, pp. 71-85, 2005.
- [36] H. Sahu, R. Ayyagari, Interval fuzzy type-II controller for the level control of a three tank system, *IFAC-PapersOnLine*, Vol. 49, No. 1, pp. 561-566, 2016.
- [37] A. Akbari, A.R. Zare Bidaki, A. R. Hosseini, M. Aliyari Shorehdeli, Investigation of the stability of electro hydraulic servo system using fuzzy intelligent controller, *Modares Mechanical Engineering*, Vol. 14, No. 3, pp. 36-42, 2014. (in Persian)
- [38] S. Gayaka and B. Yao, Fault Detection, Identification and Accommodation for an Electro-hydraulic System: An Adaptive Robust Approach, *Proceedings of the 17th World Congress, The International Federation of Automatic Control*, Seoul, Korea, pp. 13815-13820, July 6-11, 2008.
- [39] B. Yao, F. Bu, J. Reedy, and G.T.C. Chiu, Adaptive robust control of single-rod hydraulic actuators: theory and experiments, *IEEE/ASME Transactions on Mechatronics*, Vol. 5, No. 1, pp. 79-91, 2000.
- [40] B. Yao, F. Bu, and G. T. C. Chiu, Nonlinear adaptive robust control of electro-hydraulic systems driven by double-rod actuators, *International Journal of Control*, Vol. 74, No. 8, pp. 761-775, 2000.
- method for aileron actuator, *Applied Mathematical Modelling*, Vol. 39, No. 19, pp. 5803-5815, 2015.
- [9] Y. Pan, H. Li, Q. Zhou, Fault detection for interval type-2 fuzzy systems with sensor nonlinearities, *Neurocomputing*, Vol. 145, pp. 488-494, 2014.
- [10] Y. Vaghei, A. Farshidianfar, Fault diagnosis and classification of deep groove ball bearings using wavelet transform and adaptive neuro-fuzzy system, *Modares Mechanical Engineering*, Vol. 15, No. 11, pp. 233-241, 2016. (in Persian)
- [11] Y. Pan, G.-H. Yang, Fault detection for interval type-2 fuzzy stochastic systems with D stability constraint, *International Journal of Systems Science*, Vol. 48 No. 1, pp 43-52, 2017.
- [12] C. Wu, H. Li, H.-K. Lam, H. R. Karimi, Fault detection for nonlinear networked systems based on quantization and dropout compensation: An interval type-2 fuzzy-model method, *Neurocomputing*, Vol. 191, pp. 409-420, 2016.
- [13] J. M. Mendel, R. I. John, F. Liu, Interval Type-2 Fuzzy Logic Systems Made Simple, *IEEE Transactions on Fuzzy Systems*, Vol. 14, No. 6, pp. 808-821, 2006.
- [14] M. A. Khanesar, E. Kayacan, M. Teshnehab, O. Kaynak, Extended Kalman filter based learning algorithm for type-2 fuzzy logic systems and its experimental evaluation, *Industrial Electronics, IEEE Transactions on*, Vol. 59, No. 11, pp. 4443-4455, 2012.
- [15] H. Monirvaghefi, M. Aliyari Shoorehdeli, Model-based fault detection of a nonlinear system using interval type-2 fuzzy systems with non-singleton type-2 fuzzification, *3rd International Conference on Control, Instrumentation, and Automation*, Tehran, Iran, 2013.
- [16] B. Safarinejad, P. Ghane, H. Monirvaghefi, Fault detection in non-linear systems based on type-2 fuzzy logic, *International Journal of Systems Science*, Vol. 46, No. 3, pp. 394-404, 2015.
- [17] N. Karnik, J. M. Mendel, Applications of type-2 fuzzy logic systems to forecasting of time-series, *Information Sciences*, Vol. 120, No. 1-4, pp. 89-111, 1999.
- [18] A. Xu, Q. Zhang, Nonlinear system fault diagnosis based on adaptive estimation, *Automatica*, Vol. 40, No. 7, pp. 1181-1193, 2004.
- [19] H. Khan, S. C. Abou, and N. Sepehri, Nonlinear observer-based fault detection technique for electro-hydraulic servo-positioning systems, *Mechatronics*, Vol. 15, pp. 1037-1059, 2005.
- [20] S. Gayaka, B. Yao, Fault Detection, Identification and accommodation for an electro-hydraulic system: An adaptive robust approach, *IFAC Proceedings Volumes*, Vol. 41, No. 2, pp. 13815-13820, 2008.
- [21] S. Oblak, I. Škrjanc, S. Blažič, Fault detection for nonlinear systems with uncertain parameters based on the interval fuzzy model, *Engineering Applications of Artificial Intelligence (ICM)*, Malaga, Spain, pp. 1-6, 2009.
- [22] G. Heredia, A. Ollero, Sensor fault detection in small autonomous helicopters using observer/Kalman filter identification, *IEEE International Conference on Mechatronics (ICM)*, Malaga, Spain, pp. 1-6, 2009.
- [23] F. Beainy, M. Anh, and S. Commuri, Unmanned Aerial Vehicles operational requirements and fault-tolerant robust control in level flight, *IEEE Conference on Control and Automation*, Thessaloniki, Greece, pp. 700-705, 2009.
- [24] V. E. Andrade, C. H. Fontes, M. Embirucu, An interval type-2 fuzzy logic